

УДК 621.314.5

ОПРЕДЕЛЕНИЕ ПАРАМЕТРОВ ПЕРЕХОДНЫХ ПРОЦЕССОВ В СХЕМЕ ОДНОТАКТНОГО ИНДУКТИВНО-КЛЮЧЕВОГО ФОРМИРОВАТЕЛЯ КВАЗИСИНУСОИДАЛЬНОГО ТОКА

В.В. Гребенников, Е.В. Ярославцев

Томский политехнический университет

E-mail: grebennikovvv@tpu.ru

Проведен анализ индуктивно-ключевого формирователя однополярного квазисинусоидального тока, используемого в электрохимических технологиях. Получены аналитические выражения для определения временных параметров переходных процессов в схеме, которые позволяют предъявить требования к частотным свойствам и определить динамические потери ключа. Данные выражения являются основой для разработки инженерной методики проектирования формирователя квазисинусоидального тока.

Ключевые слова:

Источник питания, формирователь тока, квазисинусоидальный ток, электрохимические технологии.

Key words:

Power supply, current shaper, quasi-sinusoidal current, electrochemical technology.

Для интенсификации и управления электрохимическими процессами в ряде случаев целесообразно использовать источники питания на базе формирователя квазисинусоидального асимметричного тока. Устройство относится к сравнительно новому классу индуктивно-ключевых формирователей тока, предложенных в свое время профессором Б.А. Багинским [1]. Для инженерного расчета и проектирования формирователя необходимо получить аналитические выражения, которые позволят определить параметры элементов силовой части, а также предъявить требования к частотным свойствам и рассчитать динамические потери в ключах схемы, что имеет важное практическое значение.

Проведем анализ схемы при формировании одной полуволны тока. В этом случае формирователь можно представить в виде упрощенной схемы индуктивно-ключевого формирователя однополярного квазисинусоидального тока (рис. 1, а), принцип действия которого аналогичен используемому в активных корректорах коэффициента мощности [2]. Главное отличие заключается в том, что в корректорах квазисинусоидальный ток формируется во входной цепи выпрямителя, а в рассматриваемой далее схеме – в выходной цепи, нагрузке преобразователя постоянного напряжения, в однополярный ток заданной формы.

Способ формирования однополярного квазисинусоидального тока в нагрузке заключается в управлении величиной тока токоформирующего дросселя L , путем регулирования по заданному закону длительностей открытого и закрытого состояния ключа S и поясняется диаграммами токов и напряжений, приведенными на рис. 1, б. Для наглядности частота переключений ключа выбрана относительно невысокой. При описании принципа действия схемы и выводе расчетных соотношений воспользуемся общепринятыми допущениями: источник E является идеальным источником напряжения; вентиль VD и ключ S – идеальны; активные потери в элементах схемы отсутствуют; дроссель L

является линейным элементом; нагрузка R_n постоянна и носит чисто активный характер.

Введем обозначения:

- $i_{n\text{ уср}}(t) = i_L(t) = I_m \sin \omega t$ – усредненное значение тока дросселя и нагрузки, в идеале представляющего собой заданную полуволну синусоиды с амплитудой I_m , угловой частотой ω и периодом T ;

$$\left. \begin{aligned} i_1(t) &= 0,5\Delta I_L + i_{n\text{ уср}}(t) = 0,5\Delta I_L + I_m \sin \omega t, \\ i_2(t) &= -0,5\Delta I_L + i_{n\text{ уср}}(t) = -0,5\Delta I_L + I_m \sin \omega t \end{aligned} \right\}; \quad (1)$$

- соответственно верхний и нижний пороговые уровни, ограничивающие пульсации тока дросселя относительно значения $i_{n\text{ уср}}(t)$; $\Delta I_L = i_1(t) - i_2(t)$ – заданный размах пульсаций тока дросселя;

$$K_{\text{пл}} = \Delta I_L / I_m; \quad (2)$$

- коэффициент пульсаций тока дросселя и нагрузки;

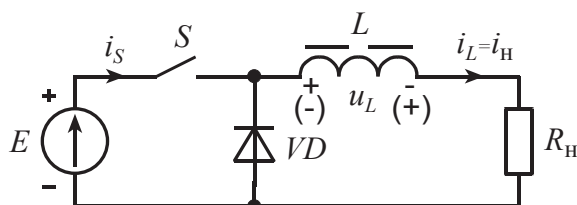
$$U^* = I_m \cdot R_n / E = U_{m\text{ н}} / E; \quad (3)$$

- нормированная амплитуда выходного напряжения; $U_{m\text{ н}}$ – усредненная амплитуда напряжения на нагрузке.

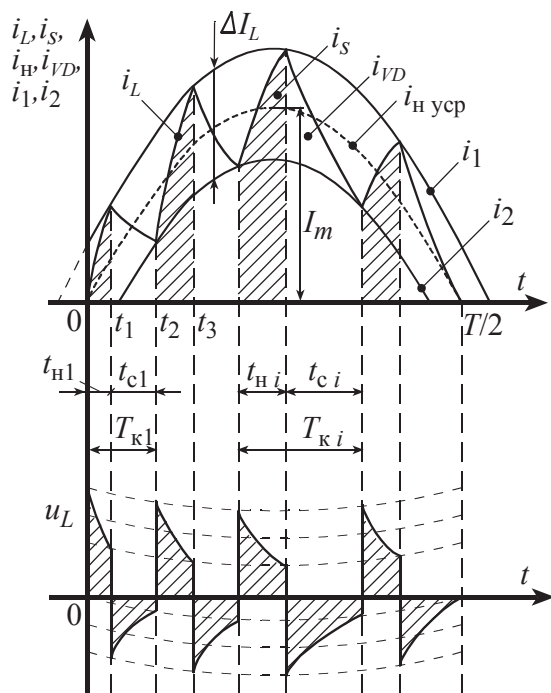
Пусть в момент времени $t=0$ ключ S замыкается, начиная первый цикл работы формирователя. Напряжение E через замкнутый ключ прикладывается одновременно к последовательно включенным L и R_n и обратному диоду VD , поддерживая последний в запертом состоянии. В этот момент ток дросселя $i_L(t)$, а, соответственно, и ток нагрузки равны нулю, следовательно, все напряжение источника E прикладывается к дросселю с положительной полярностью, указанной на рис. 1, а, без скобок. Ток $i_L(t)$ начинает возрастать, а дроссель – накапливать энергию. Индуктивность дросселя выбрана такой, чтобы скорость возрастания тока $i_L(t)$ превышала скорость роста $i_{n\text{ уср}}(t)$ с определенным запасом. Увеличение тока $i_L(t)$ происходит до верхнего порогового уровня $i_1(t)$, при достижении которого в момент времени t_1 ключ S размыкается. Ток дросселя, замыкаясь через нагрузку и от-

крывшийся обратный диод, начинает уменьшаться, при этом полярность напряжения на обмотке L меняется на противоположную, указанную на рис. 1, а, в скобках – токоформирующий дроссель отдает накопленную ранее энергию в нагрузку.

В момент времени t_2 , когда $i_L(t)$ достигает нижнего порогового уровня $i_2(t)$, ключ S вновь замыкается, начиная второй цикл работы формирователя. Ток дросселя снова начинает возрастать, и далее описанные процессы циклически повторяются.



а



б

Рис. 1. Принципиальная схема индуктивно-ключевого формирователя однополярного тока (а) и диаграммы токов и напряжений (б)

В последнем цикле, когда требуемая полуволна выходной синусоиды уже сформирована, система управления на этапе спада тока (S выключен) фиксирует момент достижения током $i_L(t)$ нулевого значения, и после небольшой паузы выдает сигнал на начало формирования следующей полуволны. Таким образом, в результате большого числа циклов работы ключа в нагрузке формируется ток, усредненное (аппроксимированное) значение которого (на рис. 1, б, показано пунктирной линией) соответствует полуволне синусоидального сигнала.

Для получения основных расчетных соотношений проведем анализ переходных процессов в рассматриваемой схеме [3]. Предположим, что на временном интервале $T/2$ для формирования заданной полуволны тока требуется N циклов, каждый из которых состоит из двух переходных процессов: нарастания и спада тока дросселя, соответственно. Обозначим номер текущего цикла буквой i , причем $i=1 \dots N$ – целое число. Присвоим параметрам тока, напряжения и времени индексы: буквенный индекс «н» или «с» – указывает на этап нарастания или спада $i_L(t)$, соответственно; числовой индекс соответствует номеру рассматриваемого цикла.

Рассмотрим переходные процессы, происходящие в первом цикле работы формирователя. Первый переходный процесс нарастания тока $i_L(t)$ начинается при $t=0$ в момент замыкания ключа S . Очевидно, что начальное значение тока дросселя при этом равно нулю: $I_{Ln1}(0)=0$. Известно, что в этом случае изменение тока дросселя будет происходить по закону [3]:

$$i_{Ln1}(t) = \frac{E}{R_n} (1 - e^{-t/\tau}), \quad (4)$$

где $\tau=L/R_n$ – постоянная времени цепи.

Согласно уравнению (1), верхнего порогового уровня $i_1(t)$ ток $i_{Ln1}(t)$ достигает за время нарастания t_{n1} :

$$i_1(t_{n1}) = 0,5\Delta I_L + I_m \sin \omega t_{n1}. \quad (5)$$

Очевидно, что значение $i_1(t_{n1})$ является независимым начальным условием для следующего переходного процесса. Для определения времени нарастания приравняем уравнения (4) и (5) при $t=t_{n1}$:

$$i_{Ln1}(t_{n1}) = i_1(t_{n1}); \Rightarrow \frac{E}{R_n} (1 - e^{-t_{n1}/\tau}) = 0,5\Delta I_L + I_m \sin \omega t_{n1}.$$

Приведем последнее выражение к безразмерному виду

$$(1 - e^{-t_{n1}/\tau}) = \frac{0,5\Delta I_L R_n + I_m R_n \sin \omega t_{n1}}{E}. \quad (6)$$

Тогда, из (6) с учетом обозначений (2) и (3) получаем:

$$e^{-t_{n1}/\tau} = 1 - 0,5U * K_{nn} - U * \sin \omega t_{n1}.$$

Полученное уравнение является трансцендентным, поэтому для определения времени нарастания t_{n1} необходимо использовать известные численные методы решения трансцендентных уравнений.

В момент времени $t_1=t_{n1}$ (рис. 1, б) ключ S размыкается, и в схеме начинается второй переходный процесс – этап спада тока дросселя на первом цикле. Переносим начало отсчета времени в точку $t_1=t_{n1}$, запишем закон изменения тока на текущем этапе [3]:

$$i_{Lc1}(t) = I_{Lc1}(0) e^{-t/\tau}. \quad (7)$$

Здесь $I_{Lc1}(0)$ – независимое начальное условие для рассматриваемого переходного процесса, определяемое, как уже отмечалось, из выражения (5):

$$I_{L_{cl}}(0) = i_1(t_{n1}) = 0,5\Delta I_L + I_m \sin \omega t_{n1}. \quad (8)$$

Ток дросселя, снижаясь, достигает нижнего порогового уровня

$$i_2(t_{n1} + t_{c1}) = -0,5\Delta I_L + I_m \sin \omega(t_{n1} + t_{c1}) \quad (9)$$

за время спада тока t_{c1} , при этом с учетом (5), (7)–(9) справедливо:

$$i_{L_{cl}}(t_{c1}) = i_2(t_{n1} + t_{c1}); \Rightarrow (0,5\Delta I_L + I_m \sin \omega t_{n1})e^{-t_{c1}/\tau} = -0,5\Delta I_L + I_m \sin \omega(t_{n1} + t_{c1}),$$

или в нормированном виде с учетом ранее принятых обозначений

$$(0,5K_{\text{пл}} + \sin \omega t_{n1})e^{-t_{c1}/\tau} = -0,5K_{\text{пл}} + \sin \omega(t_{n1} + t_{c1}).$$

Полученное уравнение позволяет, используя численные методы, определить длительность спада t_{c1} .

Найденные значения t_{n1} и t_{c1} дают возможность определить длительность цикла и локальную частоту работы ключа в первом цикле, соответственно:

$$T_{\text{кл}} = t_{n1} + t_{c1}, \quad f_{\text{кл}} = \frac{1}{T_{\text{кл}}} = \frac{1}{t_{n1} + t_{c1}}.$$

Переходные процессы, происходящие в последующих циклах работы формирователя ($i=2, \dots, N$), рассчитываются аналогично. Отличительной особенностью этапов нарастания $i_i(t)$ этих циклов является наличие ненулевых начальных условий для тока дросселя: исходное значение тока в i -м цикле является, очевидно, конечным значением тока в предыдущем $i-1$ цикле:

$$I_{L_{ni}}(0) = i_{L_{ni-1}}(t_{ci-1}).$$

Дальнейший анализ показал, что для i -го цикла справедливы следующие уравнения:

- закон изменения тока дросселя на этапе нарастания:

$$i_{L_{ni}}(t) = \frac{E}{R_n} + \left[I_{L_{ni}}(0) - \frac{E}{R_n} \right] e^{-t/\tau},$$

$$I_{L_{ni}}(0) = -\frac{\Delta I_L}{2} + I_m \sin \omega \left(\sum_{j=1}^{i-1} T_{kj} \right);$$

- закон изменения тока дросселя на этапе спада:

$$i_{L_{ci}}(t) = I_{L_{ci}}(0)e^{-t/\tau},$$

$$I_{L_{ci}}(0) = \frac{\Delta I_L}{2} + I_m \sin \omega \left[\left(\sum_{j=1}^{i-1} T_{kj} \right) + t_{ni} \right];$$

- трансцендентное уравнение для расчета времени нарастания тока t_{ni} :

$$1 + \left[-0,5U^* K_{\text{пл}} + U^* \sin 2\pi \left(\sum_{j=1}^{i-1} T_{kj}^* \right) - 1 \right] e^{-t_{ni}^* \delta} = 0,5U^* K_{\text{пл}} + U^* \sin 2\pi \left[\left(\sum_{j=1}^{i-1} T_{kj}^* \right) + t_{ni}^* \right], \quad (10)$$

где $\tau^* = \tau/T$ – относительная постоянная времени; $\delta = 1/\tau^* = T/\tau$ – коэффициент затухания переходного

процесса; $t_{ni}^* = t_{ni}/T$ – относительное время нарастания тока дросселя; $T_{ki}^* = 1/f_{ki}^* = T_{ki}/T = t_{ni}^* + t_{ci}^*$ – относительная длительность цикла; $t_{ci}^* = t_{ci}/T$ – относительное время спада тока дросселя; $f_{ki}^* = f_{ki}/f = 1/T_{ki}^*$ – относительная локальная частота переключения;

- трансцендентное уравнение для расчета времени спада тока t_{ci} :

$$\left\{ 0,5K_{\text{пл}} + \sin 2\pi \left[\left(\sum_{j=1}^{i-1} T_{kj}^* \right) + t_{ni}^* \right] \right\} e^{-t_{ci}^* \delta} = -0,5K_{\text{пл}} + \sin 2\pi \sum_{j=1}^i T_{kj}^*. \quad (11)$$

Уравнения (10) и (11) имеют большое практическое значение, поскольку позволяют определить временные параметры переходных процессов, что, в свою очередь, дает возможность предъявить требования к частотным свойствам и рассчитать динамические потери ключа. Из уравнений видно, что на длительность нарастания и спада тока дросселя сложным образом влияют одновременно несколько параметров: коэффициент пульсаций $K_{\text{пл}}$, нормированная амплитуда выходного напряжения U^* , коэффициент затухания переходного процесса δ и текущая фаза формируемой синусоиды $\omega t_i = 2\pi \sum_{j=1}^i T_{kj}^*$.

Выявить влияние отдельного параметра достаточно сложно, однако можно отметить некоторые тенденции из общефизических соображений:

- коэффициент пульсаций ($K_{\text{пл}}$)** определяет «ширину окна» (ΔI_L), в котором происходит изменение тока дросселя. Чем больше $K_{\text{пл}}$ (шире «окно»), тем больше длительность переходных процессов, при прочих равных условиях, и наоборот;
- величина рабочего напряжения, приложенного к дросселю (U)** оказывает влияние на длительность временного интервала, на котором происходит изменение его тока. Из математической модели для индуктивности [3] $u_L(t) = L di_L(t)/dt$ следует, что скорость изменения тока определяется отношением U_L/L , где L – индуктивность дросселя. Следовательно, при прочих равных условиях, чем больше величина рабочего напряжения, тем выше скорость изменения тока и меньше длительность временного интервала, за который ток меняется на определенную величину. С уменьшением U_L скорость изменения тока падает, и длительность временного интервала увеличивается;
- постоянная времени токоформирующей цепи (τ)** определяет длительность переходного процесса. Чем меньше постоянная времени, тем меньше длительность временного интервала (t_n и t_c), при прочих равных условиях, и наоборот;
- текущая фаза** синусоиды влияет на величину приращения тока дросселя. В течение этапов нарастания или спада тока дросселя происходит

одновременное изменение мгновенного значения усредненного тока нагрузки на величину $\Delta i_{н\text{ уср}}$ и тока дросселя i_L , при этом ток дросселя на каждом временном интервале получает приращение $\Delta i_L = \Delta I_L \pm \Delta i_{н\text{ уср}}$. Если ток дросселя и усредненный ток нагрузки одновременно нарастают или спадают, то Δi_L увеличивается. Уменьшение Δi_L происходит, если один из них нарастает, а другой спадает. При прочих равных условиях, увеличение Δi_L ведет к возрастанию длительности временного интервала, и наоборот. Величина приращения тока дросселя достаточно сильно зависит от текущей фазы формируемой синусоиды. В связи с этим величина приращения пропорциональна скорости изменения усредненного значения тока нагрузки;

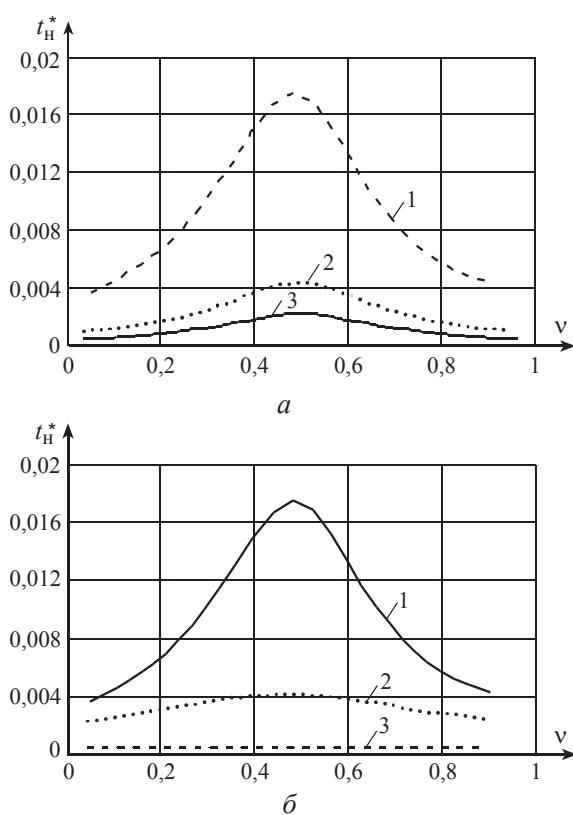


Рис. 2. Зависимости относительного времени нарастания тока дросселя от относительной текущей фазы при $K_{пл}=0,2$: а) $U^*=0,8$ и δ : 1) 50; 2) 200; 3) 400; б) $\delta=50$ и U^* : 1) 0,8; 2) 0,5; 3) 0,1

- **скорость изменения усредненного значения тока нагрузки** меняется по косинусоидальному закону, т. е. максимальна на краях полупериода и минимальна в центре полупериода формируемой синусоиды. Данный параметр усугубляет влияние текущей фазы формируемого тока на длительность временных интервалов.

С помощью математического пакета Mathcad получены численные решения трансцендентных уравнений (10), (11), и определено количество циклов переключения ключа на полупериоде формируемой синусоиды. Зависимости отдельных параметров (t_n^* , t_c^* , T_k^* , f_k^*) от относительной текущей

фазы $v = \omega t / \pi$ приведены на рис. 2–6. Ход представленных зависимостей обусловлен влиянием описанных выше параметров.

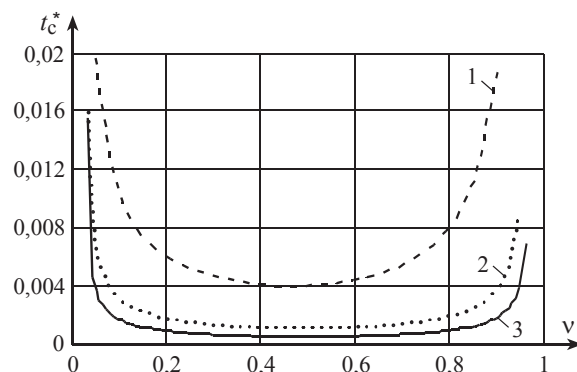


Рис. 3. Зависимости относительного времени спада тока дросселя от относительной текущей фазы при $K_{пл}=0,2$, $U^*=0,8$ и различных значениях δ : 1) 50; 2) 200; 3) 400

Зависимости $T_k^* = f(v)$ (при $K_{пл}=0,2$ и различных δ и U^*) изображены на рис. 4. Параметр T_k^* представляет собой сумму t_n^* и t_c^* , поэтому влияние значений δ и U^* на T_k^* объясняется их влиянием на t_n^* и t_c^* , описанным ранее. Видно, что в начале и в конце полупериода формируемого сигнала при любых δ и U^* относительная длительность цикла имеет максимальное значение, обусловленное большими значениями t_c^* по сравнению t_n^* .

Кривые, отражающие рассматриваемые зависимости при $U^*=0,8$, имеют три локальных экстремума: один максимум и два минимума. Локальный максимум $T_{k\text{ max}}^*$, наблюдаемый приблизительно в центре полупериода синусоиды, обусловлен значительным превышением t_n^* над t_c^* . Значение первого минимума $T_{k\text{ min}1}^*$, лежащего в первой половине полупериода, меньше значения второго – $T_{k\text{ min}2}^*$, лежащего во второй половине полупериода. Это объясняется асимметрией графиков зависимости t_n^* и t_c^* относительно центра полупериода синусоиды. С увеличением δ (а, следовательно, уменьшением длительности рабочего цикла) различие между значениями минимумов уменьшается, т. е. уменьшается разница $\Delta T_{k\text{ min}}^* = T_{k\text{ min}2}^* - T_{k\text{ min}1}^*$ – рис. 4, а. Например, в рассматриваемом случае справедливо (рис. 4, а): при $\delta=50$, $\Delta T_{k\text{ min}}^* = 0,7 \cdot 10^{-3}$; при $\delta=200$, $\Delta T_{k\text{ min}}^* = 0,08 \cdot 10^{-3}$; при $\delta=400$, $\Delta T_{k\text{ min}}^* = 0,01 \cdot 10^{-3}$.

Анализ показал, превышение локального максимума $T_{k\text{ max}}^*$ над локальным минимумом $T_{k\text{ min}2}^*$ в данном случае не зависит от δ и составляет $T_{k\text{ max}}^* / T_{k\text{ min}2}^* \approx 1,61$ для любого значения коэффициента затухания.

По мере уменьшения U^* влияние t_n^* на T_k^* ослабевает за счет того, что значения t_n^* и t_c^* становятся соизмеримыми в центральной части полупериода (случай при $U^* = 0,5$), в результате чего величина T_k^* практически не меняется при изменении v – рис. 4, б. Дальнейшее снижение U^* приводит к тому, что t_n^* становится много меньше t_c^* . В этом случае справедливо: $T_k^* \approx t_c^*$, следовательно, при малых

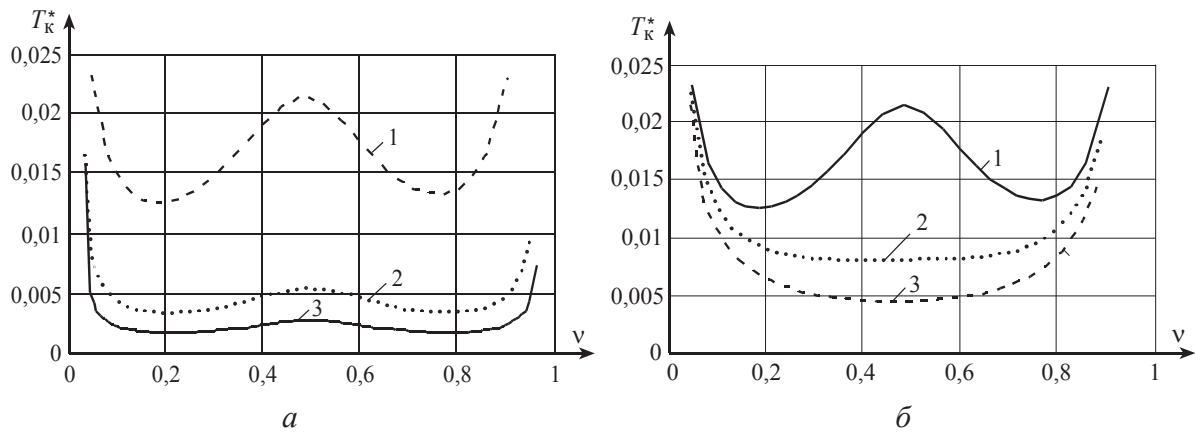


Рис. 4. Зависимости относительной длительности цикла переключения ключа от относительной текущей фазы при $K_{\text{пт}}=0,2$: а) $U^*=0,8$ и δ : 1) 50; 2) 200; 3) 400; б) $\delta=50$ и U^* : 1) 0,8; 2) 0,5; 3) 0,1

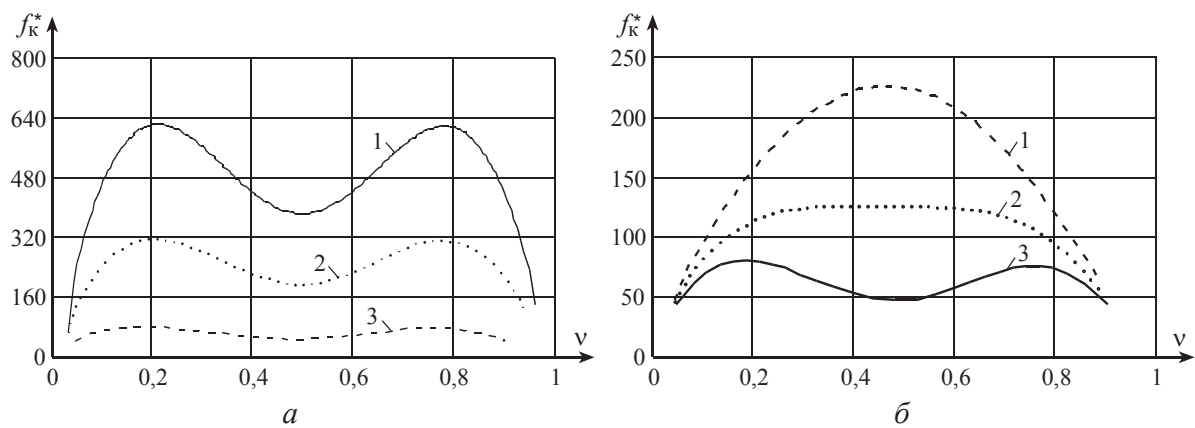


Рис. 5. Зависимости относительной локальной частоты переключения ключа от относительной текущей фазы при $K_{\text{пт}}=0,2$: а) $U^*=0,8$ и δ : 1) 400; 2) 200; 3) 50; б) $\delta=50$ и U^* : 1) 0,1; 2) 0,5; 3) 0,8

значениях U^* графики зависимости $T_k^*=f(\nu)$ практически совпадают с графиками $t_c^*=f(\nu)$ (случай: $U^*=0,1$).

Влияние значения δ на величину T_k^* объясняется влиянием этого параметра на t_n^* и t_c^* , рассмотренные ранее.

На рис. 5 приведены зависимости относительной локальной частоты переключения ключа f_k^*

от относительной текущей фазы при разных U^* и δ при постоянном $K_{\text{пт}}$. Поскольку частота обратно пропорциональна длительности цикла, ход представленных зависимостей легко объясняется с учетом рис. 4 и вышеизложенных комментариев относительно зависимостей $T_k^*=f(\nu)$.

На рис. 6 представлены графики зависимостей количества циклов работы ключа N от параметра δ

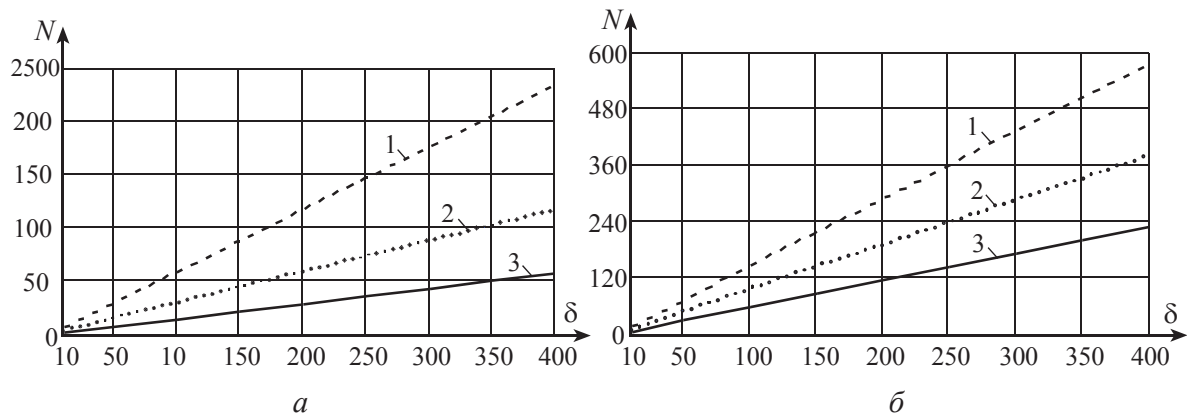


Рис. 6. Зависимости количества циклов переключения ключа от коэффициента затухания: а) $U^*=0,1$ и $K_{\text{пт}}$: 1) 0,05; 2) 0,1; 3) 0,2; б) $K_{\text{пт}}=0,2$ и U^* : 1) 0,1; 2) 0,5; 3) 0,8

при различных $K_{пл}$ и U^* . Видно, что с увеличением δ количество циклов возрастает практически по линейному закону. Это объясняется тем, что с ростом δ обратно пропорционально уменьшается τ^* , а, следовательно, и сама постоянная времени токоформирующей цепи. Это приводит к сокращению продолжительности переходных процессов, а, следовательно, и к уменьшению длительности цикла работы ключа. Наименьшая скорость изменения N с ростом δ наблюдается при максимальных $K_{пл}$ (величина U^* фиксирована) и максимальных значениях U^* ($K_{пл}$ фиксирован). С уменьшением как $K_{пл}$, так и U^* скорость изменения N возрастает. Это связано с тем, что с уменьшением $K_{пл}$ уменьшается размах пульсаций тока дросселя, а, следовательно, снижаются длительности этапов нарастания и спада тока i_L , и, соответственно, T_k^* . С уменьшением U^* увеличивается величина рабочего напряжения на обмотке дросселя, следовательно, возрастает скорость изменения тока i_L , что приводит к уменьшению t_n^* , а, соответственно, и T_k^* .

СПИСОК ЛИТЕРАТУРЫ

1. Багинский Б.А., Гребенников В.В., Нигоф Б.М. Огородников Д.Н., Ярославцев Е.В. Модуляционный формирователь квазисинусоидального асимметричного тока // Приборы и техника эксперимента. – 2001. – № 2. – С. 121–123.

Выводы

1. Проведен анализ индуктивно-ключевого формирователя однополярного квазисинусоидального тока. Предложен интегральный параметр – количество циклов работы ключа, что позволяет оценить параметры формируемого тока и предъявить требования к частотным свойствам элементов схемы формирователя.
2. Получены соотношения, позволяющие проследить тенденции и характер изменения временных параметров переходных процессов, происходящих в токоформирующей цепи и произвести их расчет для заданных параметров нагрузки и тока.
3. Установлено, что тенденции изменения временных параметров обусловлены величиной напряжения, прикладываемого к дросселю формирователя в каждом цикле работы ключа, а также соотношением периода формируемого тока и постоянной времени токоформирующей цепи.

2. Зиновьев Г.С. Основы силовой электроники. Изд. 2-е, испр. и доп. – Новосибирск: Изд-во НГТУ, 2003. – 664 с.
3. Попов В.П. Основы теории цепей. Изд. 3-е, испр. – М.: Высшая школа, 2000. – 575 с.

Поступила 14.10.2011 г.

УДК 621.314

ИНВЕРТОРНЫЙ ИСТОЧНИК ПИТАНИЯ ДЛЯ ЗАРЯДА ЕМКОСТНОГО НАКОПИТЕЛЯ

Е.Ю. Буркин, В.В. Свиридов, Е.Ю. Степанов

Томский политехнический университет
E-mail: burkin@gmail.com

Дан краткий обзор теории заряда емкостного накопителя. Описано и исследовано схемное решение для увеличения мощности, передаваемой в нагрузку в течение рабочего цикла заряда емкостного накопителя на основе формирования ступенчатого зарядного тока.

Ключевые слова:

Источник для заряда емкостного накопителя, инверторный источник питания, оптимизация зарядного процесса.

Key words:

Capacitor charging circuit, inverter power supply, charging efficiency optimization.

В настоящее время широко распространен способ аккумуляции больших энергий, основанный на применении в качестве накопителей батарей конденсаторов. Батареи конденсаторов используются для получения импульсов тока самой различной длительности и энергии – от десятков Дж до десятков МДж. К достоинствам емкостных накопителей энергии, обусловившим их широкое распространение, следует отнести простоту осуществления коммутаций при заряде и разряде ба-

тареи конденсаторов и возможность строгого дозирования накопленной энергии посредством стабилизации уровня зарядного напряжения.

В работах [1–4] описаны наиболее известные схемы источников для заряда емкостных накопителей энергии (ЕНЭ). Однако предложенные пути повышения коэффициента полезного действия ведут к увеличению количества элементов схемы и, как следствие, изменению массогабаритных параметров.